



PONTE SULLO STRETTO DI MESSINA



PROGETTO DEFINITIVO

EUROLINK S.C.p.A.

IMPREGILO S.p.A. (MANDATARIA)
 SOCIETÀ ITALIANA PER CONDOTTE D'ACQUA S.p.A. (MANDANTE)
 COOPERATIVA MURATORI E CEMENTISTI - C.M.C. DI RAVENNA SOC. COOP. A.R.L. (MANDANTE)
 SACYR S.A.U. (MANDANTE)
 ISHIKAWAJIMA - HARIMA HEAVY INDUSTRIES CO. LTD (MANDANTE)
 A.C.I. S.C.P.A. - CONSORZIO STABILE (MANDANTE)

 <p>IL PROGETTISTA Dott. Ing. F. Colla Ordine Ingegneri Milano n°20355 Dott. Ing. E. Pagani Ordine Ingegneri Milano n°15408</p> 	<p>IL CONTRAENTE GENERALE</p> <p>Project Manager (Ing. P.P. Marcheselli)</p>	<p>STRETTO DI MESSINA Direttore Generale e RUP Validazione (Ing. G. Fiammenghi)</p>	<p>STRETTO DI MESSINA Amministratore Delegato (Dott. P. Ciucci)</p>
---	---	--	---

<p><i>Unità Funzionale</i> COLLEGAMENTI CALABRIA</p> <p><i>Tipo di sistema</i> INFRASTRUTTURE STRADALI OPERE CIVILI</p> <p><i>Raggruppamento di opere/attività</i> ELEMENTI DI CARATTERE GENERALE</p> <p><i>Opera - tratto d'opera - parte d'opera</i> VIADOTTO CAMPANELLA 2</p> <p><i>Titolo del documento</i> SCHEDE RIASSUNTIVE DI RINTRACCIABILITÀ DELL'OPERA</p>	<p style="text-align: right;">CS0330_F0</p>
---	--

CODICE	C G 0 7 0 0 P S H D C S C 0 0 V I 7 B 0 0 0 0 0 1 F0
--------	--

REV	DATA	DESCRIZIONE	REDATTO	VERIFICATO	APPROVATO
F0	20/06/2011	EMISSIONE FINALE	R.CAFFARENA	G.SCIUTO	F.COLLA

		Ponte sullo Stretto di Messina PROGETTO DEFINITIVO		
RELAZIONE DI CALCOLO		<i>Codice documento</i> CS0330_F0	<i>Rev</i> F0	<i>Data</i> 20/06/2011

INDICE

INDICE	3
PREMESSA.....	4
1 RIFERIMENTI NORMATIVI	4
2 RIFERIMENTI BIBLIOGRAFICI	6
3 CARATTERISTICHE MATERIALI.....	9
3.1 Conglomerato cementizio	9
3.1.1 Conglomerato cementizio per sottofondazioni	9
3.1.2 Conglomerato cementizio per pali di fondazione.....	9
3.1.3 Conglomerato cementizio per fondazioni	9
3.1.4 Conglomerato cementizio per elevazioni	10
3.1.5 Conglomerato cementizio per soletta d'impalcato e cordoli.....	10
3.1.6 Conglomerato cementizio per travi precomprese\prefabbricate.....	10
3.1.7 Conglomerato cementizio per lastre tralicciate.....	11
3.2 Acciaio per cemento armato	11
3.3 Acciaio per trefoli da precompressione	11
4 DESCRIZIONE DELLA STRUTTURA.....	12
4.1 CARATTERISTICHE GEOMETRICHE E UBICAZIONE DELLA STRUTTURA.....	12
4.2 CARATTERIZZAZIONE GEOTECNICA DEL LUOGO.....	13
4.3 CARATTERIZZAZIONE IDROGEOLOGICA E IDRAULICA DEL LUOGO.....	22
4.4 CARATTERIZZAZIONE DELLA SISMICITA' DEL LUOGO	23
5 FASI COSTRUTTIVE.....	31

		Ponte sullo Stretto di Messina PROGETTO DEFINITIVO		
RELAZIONE DI CALCOLO		<i>Codice documento</i> CS0330_F0	<i>Rev</i> 0	<i>Data</i> 09/03/2011

PREMESSA

La presente relazione riguarda il dimensionamento statico del ponte ubicato alla PK. 0+630 denominato "Viadotto Campanella 2" (altezza max. trave 80 cm e luce 20 m), nell'ambito del progetto Definitivo per la realizzazione del "Ponte sullo Stretto di Messina".

1 RIFERIMENTI NORMATIVI

- [NT_1]. D.M. 14.01.2008 "Norme tecniche per le costruzioni (Gazzetta ufficiale 04/02/2008 n. 29)"
- [NT_2]. C.M. 02.02.2009 "Istruzioni per l'applicazione delle Nuove Norme tecniche per le costruzioni (Gazzetta ufficiale 04/02/2008 n. 29)"
- [NT_3]. UNI EN 1990: 2006 "Eurocodice 0 – Criteri generali di progettazione strutturale"
- [NT_4]. UNI EN 1991-1-1: 2004 "Eurocodice 1 – Azioni sulle strutture – Parte 1-1: Azioni in generale – Pesi per unità di volume, pesi propri e sovraccarichi per gli edifici"
- [NT_5]. UNI EN 1991-1-4: 2005 "Eurocodice 1 – Azioni sulle strutture – Parte 1-4: Azioni in generale – Azioni del vento"
- [NT_6]. UNI EN 1991-1-5: 2004 "Eurocodice 1 – Azioni sulle strutture – Parte 1-5: Azioni in generale – Azioni termiche"
- [NT_7]. UNI EN 1991-2: 2005 "Eurocodice 1 – Azioni sulle strutture – Parte 2: Carichi da traffico sui ponti"
- [NT_8]. UNI EN 1992-1-1: 2005 "Eurocodice 2 – Progettazione delle strutture di calcestruzzo – Parte 1-1: Regole generali e regole per gli edifici"
- [NT_9]. UNI EN 1992-2: 2006 "Eurocodice 2 – Progettazione delle strutture di calcestruzzo – Parte 2: Ponti di calcestruzzo – Progettazione e dettagli costruttivi"
- [NT_10]. UNI EN 1993-1-5: 2007 "Eurocodice 3 – Progettazione delle strutture di acciaio – Parte 1-5: Elementi strutturali a lastra"
- [NT_11]. UNI EN 1993-1-9: 2005 "Eurocodice 3 – Progettazione delle strutture di acciaio – Parte 1-9: Fatica"
- [NT_12]. UNI EN 1993-2: 2007 "Eurocodice 3 – Progettazione delle strutture di acciaio – Parte 2: Ponti in acciaio"
- [NT_13]. UNI EN 1994-2: 2006 "Eurocodice 4 – Progettazione delle strutture composte acciaio-calcestruzzo – Parte 2: Regole generali e regole per i ponti"
- [NT_14]. UNI EN 1997-1: 2005 "Eurocodice 7 – Progettazione geotecnica – Parte 1: Regole

		Ponte sullo Stretto di Messina PROGETTO DEFINITIVO		
RELAZIONE DI CALCOLO		<i>Codice documento</i> CS0330_F0	<i>Rev</i> F0	<i>Data</i> 20/06/2011

generali”

- [NT_15]. UNI EN 1998-1: 2005 “Eurocodice 8 – Progettazione delle strutture per la resistenza sismica – Parte 1: Regole generali, azioni sismiche e regole per gli edifici”
- [NT_16]. UNI EN 1998-5: 2005 “Eurocodice 8 – Progettazione delle strutture per la resistenza sismica – Parte 5: Fondazioni, strutture di contenimento ed aspetti geotecnici”
- [NT_17]. UNI 11104-2004 “Calcestruzzo – Specificazione, prestazione, produzione e conformità – Istruzioni complementari per l’applicazione della EN 206-1”
- [NT_18]. UNI EN 197-1-2007 “Cemento: Parte 1 - Composizione, specificazioni e criteri di conformità per cementi comuni
- [NT_19]. UNI EN 206-1-2006 “Calcestruzzo. Specificazioni, prestazioni, produzione e conformità”
- [NT_20]. CNR DT 207: 2008 “Istruzioni per la valutazione delle azioni e degli effetti del vento sulle costruzioni”

		Ponte sullo Stretto di Messina PROGETTO DEFINITIVO		
RELAZIONE DI CALCOLO		<i>Codice documento</i> CS0330_F0	<i>Rev</i> F0	<i>Data</i> 20/06/2011

2 RIFERIMENTI BIBLIOGRAFICI

RIFERIMENTI PER CALCOLO STRUTTURALE

- [B1]. A.I.C.A.P. [2006] - "Guida all'uso dell'Eurocodice 2"
- [B2]. ANTONIO MIGLIACCI, FRANCO MOLA [2003] - "Progetto agli stati limite delle strutture in c.a."
- [B3]. CSI COMPUTER & STRUCTURE [2009] - "SAP 2000 user's manual"
- [B4]. C. CESTELLI GUIDI [1987] - "Cemento armato precompresso"
- [B5]. DAVID COLLINGS [2005] - "Steel-concrete composite bridge"
- [B6]. ERASMO VIOLA [1992] - "Scienza delle costruzioni"
- [B7]. INTERNETIONAL CENTRE FOR MECHANICAL SCIENCES [2003] - "Strutture composte: nuove costruzioni – recupero – ponti"
- [B8]. LUIGI SABBATELLA [1998] - "Il cemento armato: la tecnica e la statica"
- [B9]. MARIO PETRANGELI [1996] - "Progettazione e costruzione di ponti"
- [B10]. MARCELLO ARICI, ENZO SIVIERO [2005] - "Nuovi orientamenti per la progettazione di Ponti e Viadotti"
- [B11]. NIGEL R. HEWSON [2006] - "Prestressed concrete bridge: design and construction"
- [B12]. O. BELLUZZI [1996] - "Scienza delle costruzioni"
- [B13]. PAOLO RUGALI [2008] - "Calcolo di strutture in acciaio; guida all'Eurocodice 3"
- [B14]. P. POZZATI, C. CECCOLI [2000] - "Teoria e tecnica delle strutture"
- [B15]. R. WALTHER, B. HOURIET, W. ISLER, P. MOIA, J.F. KLEIN [2008] - "Cable stayed bridges"
- [B16]. WAI-FAH CHEN, LIAN DUAN [2000] - "Bridge engineering, substructure design"

RIFERIMENTI PER CALCOLO SISMICO

- [B17]. ANDRE' PREUMONT, KAZUTO SETO [2008] - "Active control of structures"
- [B18]. AMR S. ELNASHI, LUIGI DI SARNO [2008] - "Fundamental of earthquake engineering"
- [B19]. C. CASAROTTI, R. PINHO, G.M. CALVI [2006] - "Adaptive pushover-based methods for seismic assessment and design of bridge structure"
- [B20]. C.G. LAI, S. FOTI, M. ROTA [2009] - "Input sismico e stabilità geotecnica dei siti in costruzione"
- [B21]. D. PIETRA, G.M. CALVI, R. PINHO [2008] - "Displacement-based seismic design of isolated bridge"
- [B22]. ERASMO VIOLA [2001] - "Fondamenti di dinamica e vibrazione delle strutture"
- [B23]. IUSS PRESS, rivista quadrimestrale - "Progettazione sismica"

		Ponte sullo Stretto di Messina PROGETTO DEFINITIVO		
RELAZIONE DI CALCOLO		<i>Codice documento</i> CS0330_F0	<i>Rev</i> F0	<i>Data</i> 20/06/2011

- [B24]. M.J.N. PRIESTLEY, G.M. CALVI, M.J. KOWLASKY [2007] - "Displacement-based seismic design of structures"
- [B25]. P.E. PINTO, P. FRANCHIN, A. LUPOI [2009] - "Valutazione e consolidamento sismico dei ponti esistenti"
- [B26]. P.E. PINTO, R. GIANNINI, P. FRANCHIN [2004] - "seismic reliability analysis of structures"

RIFERIMENTI PER CALCOLO GEOTECNICO

- [B27]. ASSOCIAZIONE GEOTECNICA ITALIANA [1984] - "Raccomandazioni sui pali di fondazione"
- [B28]. BRINCH-HANSEN, J. [1961] - "A General Formula for Bearing Capacity" - The Danish Geotechnical Institute, Bull. n.11, Copenhagen.
- [B29]. BRINCH-HANSEN, J. [1970] - "A Revised and Extended Formula for Bearing Capacity" - The Danish Geotechnical Institute, Bull. n.28, Copenhagen.
- [B30]. BUSTAMANTE M. & DOIX B. (1985) - "Une méthode pour le calcul des tirants et des micropieux injectés" Bulletin Laboratoire Central des Ponts et Chaussées, n°140, nov.-déc., ref. 3047
- [B31]. BUSTAMANTE M., GIANESELLI L.. [1982] - "Pile bearing capacity prediction by means of static penetrometer CPT" -.Pr. of the 2th European symposium on penetration testing, Amsterdam.
- [B32]. BOWLES J.E. [1991] - "Fondazioni – Progetto e Analisi" - Editore McGraw-Hill
- [B33]. CARLO CESTELLI GUIDI [1987] - "Geotecnica e tecnica delle fondazioni"
- [B34]. DE BEER, E.E., LADANYI, B. [1961] - "Etude experimentale de la capacite portante du sable sous des fondations circulaires etablies en surface". 5th ICSMFE, Paris, 1, 577-581.
- [B35]. GROUP 7.0 for windows [2000] - Technical & User's manual – Ensoft Inc.
- [B36]. H.G. POULOS, E.H. DAVIS [2002] - "Analisi e progettazione di fondazioni su pali"
- [B37]. JAMIOLKOWSKI M. et al. [1983] - "Scale effects of ultimate pile capacity" - Discussion, JGED, ASCE.
- [B38]. LANCELLOTTA R. [1991] " Geotecnica" – Edizioni Zanichelli.
- [B39]. MEYERHOF, G.G. [1951] - "The Ultimate Bearing Capacity of Foundations" - Geotechnique, 2, 301-332.
- [B40]. MEYERHOF, G.G. [1951] - "Some recent research on the bearing capacity of foundations" - Canadian Geotechnical Journal, 1, 16-26
- [B41]. MEYERHOF G.G., SASTRY V.V.R.N. [1978] - "Bearing capacity of piles in layered

		Ponte sullo Stretto di Messina PROGETTO DEFINITIVO		
RELAZIONE DI CALCOLO	<i>Codice documento</i> CS0330_F0	<i>Rev</i> F0	<i>Data</i> 20/06/2011	

soils. Part 1. Clay overlying sand" - *Canadian Geotechnical Journal*, 15,171-182, 183-189.

- [B42]. REESE L.C., WRIGHT S.J. [1977] - "Drilled shaft manual" - U.S. Dept. Transportation, Offices of Research and Development, Implementation Div., HDV 2, Washington D.C., vol.1
- [B43]. REESE L.C., W.R.COX, F.D. KOOP [1974] - "Analysis of lateralli loaded piles in sand" – Paper N° OCT 2080, Proceedings, Fifth Annual Offshore Technology Conference, Houston, Texas, 1975.
- [B44]. REESE L.C., W.R.COX, F.D. KOOP [1975] - "Field testing and analysis of laterally loaded piles in stiff clay" – Paper N° OCT 2313, Proceedings, Seventh Offshore Technology Conference, Houston, Texas, 1975.
- [B45]. REESE L.C., WELCH R.C. [1975] - "Lateral loading of deep foundations in stiff clay" – *Journal of the geotechnical Division, ASCE*, Vol. 101, No GT7, Proceedings Paper 11456, 1975, pp. 633 – 649.
- [B46]. SKEMPTON, A. W. [1951] - "The bearing capacity of clays" - *Building Research Congress*, London, 1, 180-189.
- [B47]. VESIC, A.S. [1970] - "Tests on instrumented Piles, Ogeechee River Site" - *JSMFD, ASCE*, V. 96, N. SM2, Proc. Paper 7170, March.
- [B48]. VESIC, A.S. [1973] - "Analysis of Ultimate Loads of Shallow Foundations". - *JSMFD, ASCE*, Jan., 45-73.
- [B49]. WELCH, R.C., REESE L.C. [1972] - "Laterally loaded Behavior of drilled shafts" – *Research Report N° 3-5-65-89*, conducted for Texas Highway Department and U.S. Department of Transportation, Federal Highway Administration, Bureau of Public Roads, by Center for Highway Research, The University of Austin.

		Ponte sullo Stretto di Messina PROGETTO DEFINITIVO		
RELAZIONE DI CALCOLO		<i>Codice documento</i> CS0330_F0	<i>Rev</i> F0	<i>Data</i> 20/06/2011

3 CARATTERISTICHE MATERIALI

3.1 Conglomerato cementizio

I conglomerati cementizi dovranno essere realizzati in accordo con le normative UNI 11104 e UNI EN 206-1; più in dettaglio ogni parte strutturale dovrà possedere le seguenti caratteristiche resistenti:

3.1.1 Conglomerato cementizio per sottofondazioni

Classe	C12/15
Resistenza caratteristica cubica	$f_{ck,cube} = 15 \text{ N/mm}^2$
Resistenza caratteristica cilindrica	$f_{ck,cyl} = 12 \text{ N/mm}^2$
Classe di esposizione	X0
Classe di consistenza	S4 / S5

3.1.2 Conglomerato cementizio per pali di fondazione

Classe	C25/30
Resistenza caratteristica cubica	$f_{ck,cube} = 30 \text{ N/mm}^2$
Resistenza caratteristica cilindrica	$f_{ck,cyl} = 25 \text{ N/mm}^2$
Resistenza di calcolo a compressione	$f_{cd} = \alpha_{cc} * f_{ck}/\gamma_c = 0,85 * f_{ck}/1,5 = 14,167 \text{ N/mm}^2$
Resistenza a trazione media	$f_{ctm} = 0,30 * f_{ck}^{2/3} = 2,565 \text{ N/mm}^2$
Resistenza a trazione (frattile 5%)	$f_{ctk 0,05} = 0,7 * f_{ctm} = 1,795 \text{ N/mm}^2$
Resistenza a trazione di calcolo	$f_{ctd} = f_{ctk0,05} / \gamma_c = 1,197 \text{ N/mm}^2$
Classe di esposizione	XC2
Classe di consistenza	S4-S5

3.1.3 Conglomerato cementizio per fondazioni

Classe	C25/30
Resistenza caratteristica cubica	$f_{ck,cube} = 30 \text{ N/mm}^2$
Resistenza caratteristica cilindrica	$f_{ck,cyl} = 25 \text{ N/mm}^2$
Resistenza di calcolo a compressione	$f_{cd} = \alpha_{cc} * f_{ck}/\gamma_c = 0,85 * f_{ck}/1,5 = 14,167 \text{ N/mm}^2$
Resistenza a trazione media	$f_{ctm} = 0,30 * f_{ck}^{2/3} = 2,565 \text{ N/mm}^2$
Resistenza a trazione (frattile 5%)	$f_{ctk 0,05} = 0,7 * f_{ctm} = 1,795 \text{ N/mm}^2$

		Ponte sullo Stretto di Messina PROGETTO DEFINITIVO		
RELAZIONE DI CALCOLO		<i>Codice documento</i> CS0330_F0	<i>Rev</i> F0	<i>Data</i> 20/06/2011

Resistenza a trazione di calcolo	$f_{ctd} = f_{ctk0,05} / \gamma_c$	= 1,197 N/mm ²
Classe di esposizione	XC2	
Classe di consistenza	S4	

3.1.4 Conglomerato cementizio per elevazioni

Classe	C32/40
Resistenza caratteristica cubica	$f_{ck,cube} = 40 \text{ N/mm}^2$
Resistenza caratteristica cilindrica	$f_{ck,cyl} = 32 \text{ N/mm}^2$
Resistenza di calcolo a compressione	$f_{cd} = \alpha_{cc} * f_{ck} / \gamma_c = 0,85 * f_{ck} / 1,5 = 18,133 \text{ N/mm}^2$
Resistenza a trazione media	$f_{ctm} = 0,30 * f_{ck}^{2/3} = 3,024 \text{ N/mm}^2$
Resistenza a trazione (frattile 5%)	$f_{ctk 0,05} = 0,7 * f_{ctm} = 2,117 \text{ N/mm}^2$
Resistenza a trazione di calcolo	$f_{ctd} = f_{ctk0,05} / \gamma_c = 1,411 \text{ N/mm}^2$
Classe di esposizione	XC4 – XS1– XF2
Classe di consistenza	S4

3.1.5 Conglomerato cementizio per soletta d'impalcato e cordoli

Classe	C32/40
Resistenza caratteristica cubica	$f_{ck,cube} = 40 \text{ N/mm}^2$
Resistenza caratteristica cilindrica	$f_{ck,cyl} = 32 \text{ N/mm}^2$
Resistenza di calcolo a compressione	$f_{cd} = \alpha_{cc} * f_{ck} / \gamma_c = 0,85 * f_{ck} / 1,5 = 18,133 \text{ N/mm}^2$
Resistenza a trazione media	$f_{ctm} = 0,30 * f_{ck}^{2/3} = 3,024 \text{ N/mm}^2$
Resistenza a trazione (frattile 5%)	$f_{ctk 0,05} = 0,7 * f_{ctm} = 2,117 \text{ N/mm}^2$
Resistenza a trazione di calcolo	$f_{ctd} = f_{ctk0,05} / \gamma_c = 1,411 \text{ N/mm}^2$
Classe di esposizione	XF4
Classe di consistenza	S4

3.1.6 Conglomerato cementizio per travi precomprese/prefabbricate

Classe	C45/55
Resistenza caratteristica cubica	$f_{ck,cube} = 55 \text{ N/mm}^2$
Resistenza caratteristica cilindrica	$f_{ck,cyl} = 45 \text{ N/mm}^2$
Resistenza di calcolo a compressione	$f_{cd} = \alpha_{cc} * f_{ck} / \gamma_c = 0,85 * f_{ck} / 1,5 = 25,500 \text{ N/mm}^2$
Resistenza a trazione media	$f_{ctm} = 0,30 * f_{ck}^{2/3} = 3,795 \text{ N/mm}^2$
Resistenza a trazione (frattile 5%)	$f_{ctk 0,05} = 0,7 * f_{ctm} = 2,657 \text{ N/mm}^2$
Resistenza a trazione di calcolo	$f_{ctd} = f_{ctk0,05} / \gamma_c = 1,771 \text{ N/mm}^2$

		Ponte sullo Stretto di Messina PROGETTO DEFINITIVO		
RELAZIONE DI CALCOLO		<i>Codice documento</i> CS0330_F0	<i>Rev</i> F0	<i>Data</i> 20/06/2011

Classe di esposizione XS1– XF1
 Classe di consistenza S4

3.1.7 Conglomerato cementizio per lastre tralicciate

Classe C35/45
 Resistenza caratteristica cubica $f_{ck,cube} = 45 \text{ N/mm}^2$
 Resistenza caratteristica cilindrica $f_{ck,cyl} = 35 \text{ N/mm}^2$
 Resistenza di calcolo a compressione $f_{cd} = \alpha_{cc} * f_{ck} / \gamma_c = 0,85 * f_{ck} / 1,5 = 19,833 \text{ N/mm}^2$
 Resistenza a trazione media $f_{ctm} = 0,30 * f_{ck}^{2/3} = 3,210 \text{ N/mm}^2$
 Resistenza a trazione (frattile 5%) $f_{ctk 0,05} = 0,7 * f_{ctm} = 2,247 \text{ N/mm}^2$
 Resistenza a trazione di calcolo $f_{ctd} = f_{ctk 0,05} / \gamma_c = 1,498 \text{ N/mm}^2$
 Classe di esposizione XS1– XF2
 Classe di consistenza S4

3.2 Acciaio per cemento armato

Per le armature metalliche si adottano tondini in acciaio del tipo B450C controllato in stabilimento che presentano le seguenti caratteristiche:

Tensione di snervamento caratteristica $f_{yk} \geq 450 \text{ N/mm}^2$
 Tensione caratteristica a rottura $f_{tk} \geq 540 \text{ N/mm}^2$
 Resistenza di calcolo $f_{yd} = f_{yk} / \gamma_s = 450 / 1,15 = 391,30 \text{ N/mm}^2$
 Deformazione caratteristica al carico massimo $\epsilon_{uk} = 7,5 \%$
 Deformazione di progetto $\epsilon_{ud} = 6,75 \%$

3.3 Acciaio per trefoli da precompressione

Si adottano trefoli da 0,6" in acciaio controllato in stabilimento che presentano le seguenti caratteristiche:

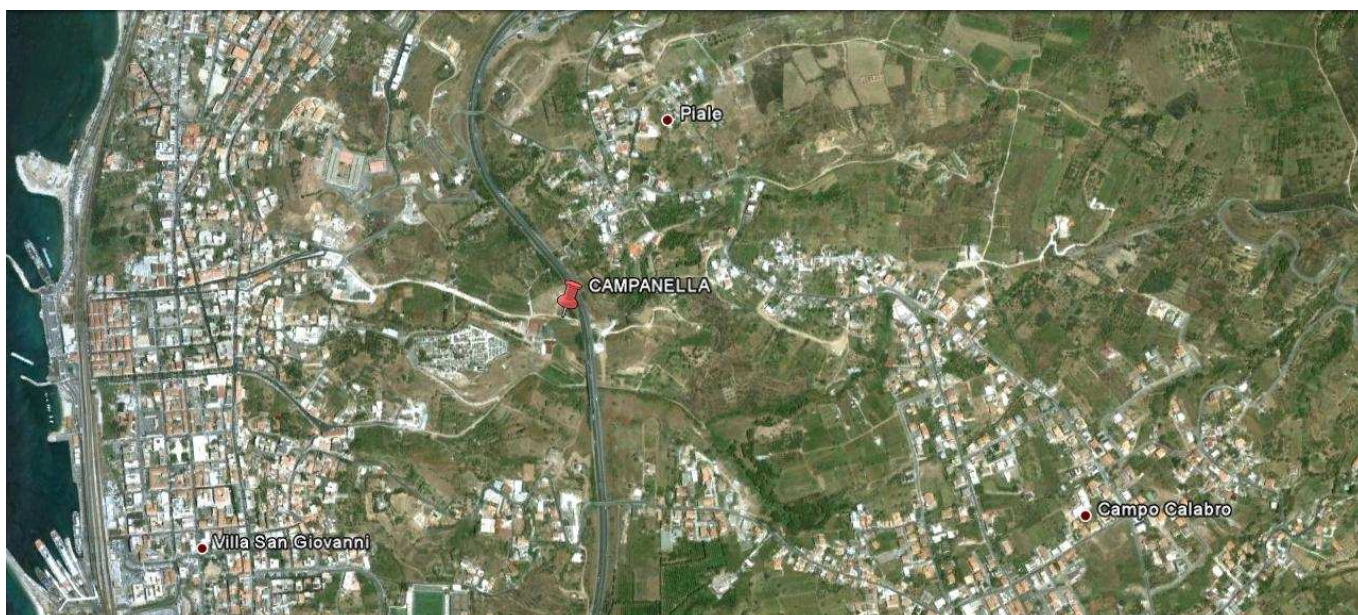
Tensione caratteristica allo 0,1% di deformazione residua $f_{p(0,1)k} \geq 1600 \text{ N/mm}^2$
 Tensione caratteristica allo 1% di deformazione totale $f_{p(1)k} \geq 1670 \text{ N/mm}^2$
 Tensione caratteristica a rottura $f_{tk} \geq 1860 \text{ N/mm}^2$
 Resistenza di calcolo $f_{yd} = f_{p(0,1)k} / \gamma_s = 1600 / 1,15 = 1391,30 \text{ N/mm}^2$
 Deformazione caratteristica al carico massimo $\epsilon_{uk} = 3,5 \%$
 Area nominale $A_{nom} = 139 \text{ mm}^2$

		Ponte sullo Stretto di Messina PROGETTO DEFINITIVO		
RELAZIONE DI CALCOLO		<i>Codice documento</i> CS0330_F0	<i>Rev</i> F0	<i>Data</i> 20/06/2011

4 DESCRIZIONE DELLA STRUTTURA

4.1 CARATTERISTICHE GEOMETRICHE E UBICAZIONE DELLA STRUTTURA

La zona in cui è individuata l'opera esaminata nel presente documento, ricade all'incirca alla Latitudine di 38,221502 e Longitudine di 15,646975.



F1. Individuazione della zona in cui ricade l'opera

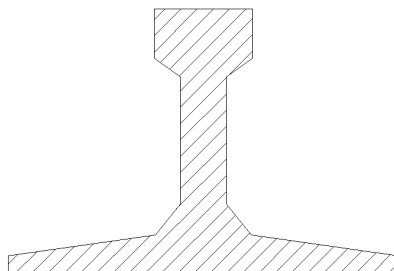
L'opera si sviluppa con andamento rettilineo su un'unica via di corsa di larghezza massima $B = 18,40$ m (con ricoprimento massimo pari a 250 cm e ricoprimento minimo pari a 200 cm) e si presenta retto rispetto alla direzione di percorrenza della viabilità; l'angolo tra l'asse longitudinale del ponte e l'asse appoggi è pari a 90° . Da un punto di vista statico, la struttura è a telaio (struttura iperstatica) con luce di calcolo pari a 20 m:

Campata	Lunghezza [m]
Spalla A – Spalla B	20,00

L'impalcato è realizzato mediante 23 travate in c.a.p. con soletta in c.a. collaborante (prevista con il sistema costruttivo "a prédalles", armate con tralicci tipo Bausta o similari, autoportanti nei confronti del getto in opera della soletta). Le travi hanno altezza costante pari a 80 cm lungo il loro

		Ponte sullo Stretto di Messina PROGETTO DEFINITIVO		
RELAZIONE DI CALCOLO		<i>Codice documento</i> CS0330_F0	<i>Rev</i> F0	<i>Data</i> 20/06/2011

sviluppo longitudinale e un interasse pari a 0,8 m:



F2. Sezione trasversale delle travi utilizzate

La struttura sarà composta da pali tipo trelicon in c.a. con diametro di 1,2 m accostati.

E' stata utilizzata questa tecnologia per la realizzazione dei pali, in quanto sono state già realizzate opere simili nelle stesse zone con una buona riuscita esecutiva.

L'esecuzione dei paramenti laterali viene quindi realizzata mediante trivellazione nella parte entro terra, mentre la parte fuori terra prosegue con un getto in opera in c.a. Le armature saranno uniformi lungo tutto lo sviluppo della paratia\parete (sia parte sotto p.c. che la parte in esterno).

i pali sono solidarizzati mediante una trave di correa in c.a. dello spessore si 1,5 m che fungerà anche da sella d'appoggio per la sovrastruttura.

Le azioni considerate nel calcolo sono quelle tipiche di una struttura interrata con le aggiunte delle azioni di tipo stradale, con applicazione della Normativa sui ponti stradali D. M. Min. II. TT. del 14 gennaio 2008 – Norme tecniche per le costruzioni.

4.2 CARATTERIZZAZIONE GEOTECNICA DEL LUOGO

La struttura è composta dalle pareti verticali gettate in opera (per un'altezza di circa 6,5-7 m da p.c.) che sostengono il rilevato di progetto, mentre i pali tipo TRELICON si estendono per 20 m all'interno del terreno esistente.

La zona in cui ricade l'opera in oggetto presenta quindi una stratigrafia caratterizzata da "sabbie e ghiaie di Messina".

Più in dettaglio tale le litologie presentano le seguenti caratteristiche:

		Ponte sullo Stretto di Messina PROGETTO DEFINITIVO		
RELAZIONE DI CALCOLO		<i>Codice documento</i> CS0330_F0	<i>Rev</i> F0	<i>Data</i> 20/06/2011

CONGLOMERATO DI PEZZO

γ (kN/m ³)	20÷22
c'_{picco} (kPa)	0÷100 (0-25m) per profondità maggiori vedi tabella par. 2.7.4.
ϕ'_{picco} (°)	38-42 (0-25m) per profondità maggiori vedi tabella par. 2.7.4
C_{residuo} ' (kPa)	vedi tabella par. 2.7.4
ϕ_{residuo} ' (°)	vedi tabella par. 2.7.4
k_o (-)	0.7-0.9
V_s (m/sec)	$V_s = 280 \cdot (z)^{0.2}$
G'_o (MPa)	$G'_o = 3000 \cdot p_a \cdot \left(\frac{p'_o}{p_a}\right)^{0.50}$
E' (MPa) *	$E'=150-300$ (0 -20m) $E'=300-500$ (20 - 35m) $E'=500-900$ (35 - 65m) $E'=900 -1500^*$ (>65m)
ν' (-)	0.2-0.3
K (m/s)	10^{-7}

Simbologia:

γ_t = peso di volume naturale;

NSPT = resistenza penetrometrica dinamica in prova SPT;

ϕ' = angolo di attrito operativo;

c' = intercetta di coesione operativa;

ϕ'_r = angolo di attrito residuo;

c'_r = intercetta di coesione residua;

OCR = grado di sovraconsolidazione;

σ_{vo}' = pressione verticale efficace geostatica;

σ_{vmax}' = pressione verticale efficace massima subita dal deposito;

c_u = resistenza al taglio non drenata riferita a tensioni di consolidazione pari a quelle geostatiche e a condizioni di carico tipo quelle delle prove triassiali di compressione e carico;

k_o = coefficiente di spinta del terreno a riposo;

		Ponte sullo Stretto di Messina PROGETTO DEFINITIVO		
RELAZIONE DI CALCOLO		<i>Codice documento</i> CS0330_F0	<i>Rev</i> F0	<i>Data</i> 20/06/2011

k_v = coefficiente di permeabilità verticale riferito a pressioni di consolidazione pari a quelle geostatiche e a problemi di flusso diretto principalmente nella direzione verticale;

V_s = velocità di propagazione delle onde di taglio;

G_o = modulo di taglio iniziale riferito alle pressioni efficaci geostatiche;

E' = modulo di Young "operativo"; * = si considerano valori nel range per gallerie, fronti di scavo sostenuti, opere di sostegno tirantate o puntonate; valori al minimo del range per fondazioni dirette, fondazioni su pali e rilevati.

ν' (-) = coefficiente di Poisson

p_a = pressione atmosferica di riferimento, espressa in MPa

p'_0 = pressione efficace alla profondità z , espressa in MPa

Non è stata riscontrata la falda nei sondaggi, pertanto nel proseguo della relazione si considererà assente la falda in quanto ininfluenza nei dimensionamenti. Nel modello di calcolo viene indicata a quota -30 m da p.c., simulando l'assenza di spinta idraulica sugli elementi resistenti.

Per un maggior dettaglio della caratterizzazione geotecnica dei suoli si rimanda alla relazione generale CG0800PRBDCSBC8G000000001B.

Per un maggior dettaglio della stratigrafia di profilo si rimanda agli elaborati:

Profilo geologico-geotecnico 1:2000 CG0800 P F6 D C SB C6 ST 00 00 00 13 B

Profilo idrogeologico 1:2000 CG0800 P F6 D C SB C6 ST 00 00 00 14 B

Nel seguito si porta un estratto di dettaglio per la zona in esame.

Descrizione delle litologie prevalenti

Le litologie prevalenti sono costituite dalle formazioni del Conglomerato di Pezzo

Il Conglomerato di Pezzo, di età tortoniana, è la litologia stratigraficamente più bassa della successione sedimentaria. La sua potenza è superiore ai 200 m.

Il conglomerato è composto prevalentemente da clasti di graniti e gneiss cementati in matrice prevalentemente composta da frazioni arenacee fini e limose.

Le dimensioni dei clasti sono eterogenee e variabili da pochi mm fino a blocchi superiori al metro, interpretati come grossi trovanti inglobati nel conglomerato.

Negli affioramenti la formazione presenta un aspetto litoide con scarpate stabili.

		Ponte sullo Stretto di Messina PROGETTO DEFINITIVO		
RELAZIONE DI CALCOLO		<i>Codice documento</i> CS0330_F0	<i>Rev</i> F0	<i>Data</i> 20/06/2011

Il Conglomerato di Pezzo ha quindi generalmente caratteristiche assimilabili a quelle di rocce tenere.

Localmente non ci sono indagini che indagano nei primi 30 m di profondità per la caratterizzazione sismica del suolo.

Per la definizione della categoria di suolo si è fatto riferimento al sondaggio SG13bis, simile dal punto di vista lito-stratigrafico, che fornisce una categoria B ($V_{s30}=482$ m/s).

Tale categoria sismica viene anche confermata dalla lettura delle N_{spt} dell'unico sondaggio presente (CN450) che fornisce valori a rifiuto già a -9 m:

Cn450	Rampa B 0+800-1+325 / Rampa M	4.5	46
Cn450	Rampa B 0+800-1+325 / Rampa M	6	14
Cn450	Rampa B 0+800-1+325 / Rampa M	7.5	63
Cn450	Rampa B 0+800-1+325 / Rampa M	9	100
Cn450	Rampa B 0+800-1+325 / Rampa M	11	100

Dai valori indicati si evince che il valor medio di N_{spt} è pari a circa 65, il che indica una categoria B di suolo.

Indagini previste

Data l'esiguità dei sondaggi e delle prove localmente presenti (CN450), si è scelto di tenere conto anche di altri sondaggi e prove disponibili.

Conglomerato di Pezzo

- Prove di carico su piastra (campagna di indagine 1988 – pozzo P2500)
- Prove pressiometriche e dilatometriche (CN450, C411)
- Prove di laboratorio per la determinazione dei parametri fisici e meccanici (CS103, FCBH1512, OTCLPT1505, FCCH2509, OTCSPT504, FCBH1501, OTCLPT2503)

Caratterizzazione geotecnica

Per i criteri e per gli aspetti generali di caratterizzazione si rimanda a quanto riportato nella relazione Elab. CG0800PRBDCSBC8G000000001A. Per la definizione delle categorie di suolo si rimanda al medesimo elaborato ed alla relazione sismica di riferimento.

		Ponte sullo Stretto di Messina PROGETTO DEFINITIVO		
RELAZIONE DI CALCOLO		<i>Codice documento</i> CS0330_F0	<i>Rev</i> F0	<i>Data</i> 20/06/2011

Conglomerato di Pezzo

Per quanto riguarda gli spezzoni di roccia o di conglomerato prelevati nei sondaggi il peso di volume totale γ è risultato mediamente pari a 23 kN/m^3 con i valori più bassi di $20 - 21 \text{ kN/m}^3$ rappresentativi degli spezzoni conglomeratici:

Per lo stato iniziale poiché la litologia in esame è quella, della successione sedimentaria, più vecchia, è difficile tenere in conto in modo sintetico della storia tensionale del deposito che è stato caratterizzato da fenomeni di preconsolidazione e cementazione. La stima può in prima approssimazione essere effettuata: considerando un età di almeno 10 milioni di anni, che $K_{o_{nc}}=0.35 \div 0.5$ ($\phi'=30^\circ \div 40^\circ$) e che $K_{o_{oc}}=0.5 \div 0.6$, tenendo dell'erosione (si stima un fattore minimo pari a 1.4 corrispondente ad $OCR=2$) ed infine considerando gli effetti di "aging" con la correlazione di (Mesri (1989)), si ottiene un valore compreso approssimativamente fra 0.7 e 0.9.

Per i parametri di resistenza al taglio nell'ambito dello strato superficiale più alterato ($z < 25 \div 30 \text{ m}$), si fa riferimento alla caratterizzazione geotecnica generale che si basa sull'esito delle prove di carico su piastra, ritenute maggiormente rappresentative del comportamento d'insieme dell'ammasso: si considerano quelle ubicate in prossimità del blocco di ancoraggio lato Calabria (campagna di indagine 1988 – pozzo P2500) ed al proposito si è ripreso lo studio effettuato nel Progetto preliminare ("Le basi del progetto – Geotecnica" – Elab. PP2RA24) (Vd.Elabor. CG0800PRBDCSBC8G000000001A).

In corrispondenza di un valore medio di $\phi'=40^\circ$ (ottenuto anche da prove pressiometriche) i valori di c' ottenuti variano linearmente, tra 0 e circa 25m di profondità, da 0 a 100 KPa circa.

La resistenza a compressione monoassiale ottenuta invece da prove di laboratorio LPT ha fornito valori molto variabili da qualche MPa ad un max di 30-40MPa.

Per i parametri di deformabilità nel contesto in esame le pressiometriche nei fori CN450 e C411 forniscono un range di valori variabilissimo fra 20m e 35m di profondità compreso fra 190 e 290 MPa.

Facendo anche riferimento all'esito delle prove della caratterizzazione generale si ritiene che il range di progetto $E'=150 \div 300 \text{ MPa}$, nei primi 20m di spessore del Conglomerato di Pezzo, possa considerarsi adeguato per la tratta in esame.

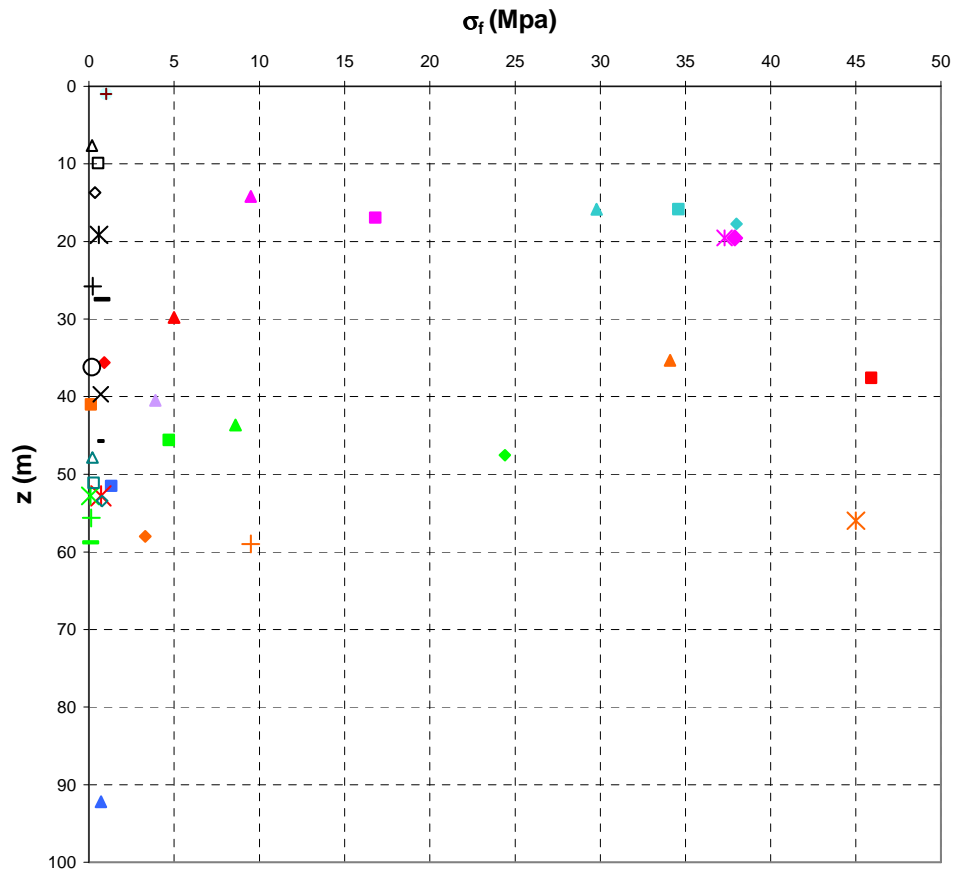
In particolare il valore minimo di 150 MPa ($1/5 \div 1/10 E_0$) si ritiene mediamente rappresentativo del contesto geotecnico in esame in cui sono previste opere che mobilitano medie e grandi

		Ponte sullo Stretto di Messina PROGETTO DEFINITIVO		
		RELAZIONE DI CALCOLO	<i>Codice documento</i> CS0330_F0	<i>Rev</i> F0

deformazioni in fase di carico.

SONDAGGIO	N° PROVINO	OPERA	z (m)	γ (kN/m ³)	γd (kN/m ³)
FCBH6	4-1	Rampa D 0-0+500 / Rampa C 0-0+500 / Rampa A 0-0+500 / ferrovia	50,65	26,60	26,60
FCBH6	4-2	Rampa D 0-0+500 / Rampa C 0-0+500 / Rampa A 0-0+500 / ferrovia	51,00	26,50	26,50
FCBH6	5-1	Rampa D 0-0+500 / Rampa C 0-0+500 / Rampa A 0-0+500 / ferrovia	56,00	23,40	23,20
FCBH6	5-2	Rampa D 0-0+500 / Rampa C 0-0+500 / Rampa A 0-0+500 / ferrovia	56,50	23,40	23,20
CS103	4	Rampa D 0-0+500 / Rampa C 0-0+500 / Rampa A 0-0+500 / ferrovia	14,20	26,00	25,90
CS103	5	Rampa D 0-0+500 / Rampa C 0-0+500 / Rampa A 0-0+500 / ferrovia	16,95	25,60	25,50
CS103	6-1	Rampa D 0-0+500 / Rampa C 0-0+500 / Rampa A 0-0+500 / ferrovia	19,55	26,50	26,40
CS103	6-2	Rampa D 0-0+500 / Rampa C 0-0+500 / Rampa A 0-0+500 / ferrovia	19,55	26,50	26,40
CS102	1-1	Rampa D 0-0+500 / Rampa C 0-0+500 / Rampa A 0-0+500 / ferrovia	15,85	26,6	26,5
CS102	1-2	Rampa D 0-0+500 / Rampa C 0-0+500 / Rampa A 0-0+500 / ferrovia	15,85	26,6	26,5
CS102	2	Rampa D 0-0+500 / Rampa C 0-0+500 / Rampa A 0-0+500 / ferrovia	17,75	26,3	26,2
FCBH1512	10	Rampa D 0-0+500 / Rampa C 0-0+500 / Rampa A 0-0+500 / ferrovia	35,3	26,5	
FCBH1512	16	Rampa D 0-0+500 / Rampa C 0-0+500 / Rampa A 0-0+500 / ferrovia	41	22,8	
FCBH1512	4NK3	Rampa D 0-0+500 / Rampa C 0-0+500 / Rampa A 0-0+500 / ferrovia	58,00	24,57	
FCBH1512	28	Rampa D 0-0+500 / Rampa C 0-0+500 / Rampa A 0-0+500 / ferrovia	56,00	25,93	
FCBH1512	30	Rampa D 0-0+500 / Rampa C 0-0+500 / Rampa A 0-0+500 / ferrovia	59,00	24,50	
OTCLPT1505	C4	Rampa D 0-0+500 / Rampa C 0-0+500 / Rampa A 0-0+500 / ferrovia	40,50	24,40	
FCCH2509	C9	Rampa D 0-0+500 / Rampa C 0-0+500 / Rampa A 0-0+500 / ferrovia	92,20	24,00	
FCCH2509	C11	Rampa D 0-0+500 / Rampa C 0-0+500 / Rampa A 0-0+500 / ferrovia	51,50	23,65	
OTCSPT504	C16	Rampa D 0-0+500 / Rampa C 0-0+500 / Rampa A 0-0+500 / ferrovia	29,80	23,20	
OTCSPT504	C17	Rampa D 0-0+500 / Rampa C 0-0+500 / Rampa A 0-0+500 / ferrovia	37,60	26,70	
OTCSPT504	C18	Rampa D 0-0+500 / Rampa C 0-0+500 / Rampa A 0-0+500 / ferrovia	35,60	20,70	
OTCSPT504	C24	Rampa D 0-0+500 / Rampa C 0-0+500 / Rampa A 0-0+500 / ferrovia	52,80	21,87	
FCBH1501	1	Rampa D 0-0+500 / Rampa C 0-0+500 / Rampa A 0-0+500 / ferrovia	43,65	21,58	
FCBH1501	2	Rampa D 0-0+500 / Rampa C 0-0+500 / Rampa A 0-0+500 / ferrovia	45,60	21,63	
FCBH1501	3	Rampa D 0-0+500 / Rampa C 0-0+500 / Rampa A 0-0+500 / ferrovia	47,55	23,61	
FCBH1501	7	Rampa D 0-0+500 / Rampa C 0-0+500 / Rampa A 0-0+500 / ferrovia	52,80	20,71	
FCBH1501	9	Rampa D 0-0+500 / Rampa C 0-0+500 / Rampa A 0-0+500 / ferrovia	55,62	19,96	
FCBH1501	11	Rampa D 0-0+500 / Rampa C 0-0+500 / Rampa A 0-0+500 / ferrovia	58,80	21,31	
OTCLPT2503	1L	Rampa D 0-0+500 / Rampa C 0-0+500 / Rampa A 0-0+500 / ferrovia	7,67	20,9	
OTCLPT2503	2L	Rampa D 0-0+500 / Rampa C 0-0+500 / Rampa A 0-0+500 / ferrovia	9,93	22,68	
OTCLPT2503	4L	Rampa D 0-0+500 / Rampa C 0-0+500 / Rampa A 0-0+500 / ferrovia	13,70	21,2	
OTCLPT2503	6L	Rampa D 0-0+500 / Rampa C 0-0+500 / Rampa A 0-0+500 / ferrovia	19,17	20,4	
OTCLPT2503	8L	Rampa D 0-0+500 / Rampa C 0-0+500 / Rampa A 0-0+500 / ferrovia	25,80	21,82	
OTCLPT2503	9L	Rampa D 0-0+500 / Rampa C 0-0+500 / Rampa A 0-0+500 / ferrovia	27,48	22,68	
OTCLPT2503	12L	Rampa D 0-0+500 / Rampa C 0-0+500 / Rampa A 0-0+500 / ferrovia	36,20	19,51	
OTCLPT2503	13L	Rampa D 0-0+500 / Rampa C 0-0+500 / Rampa A 0-0+500 / ferrovia	39,69	21,67	
OTCLPT2503	15L	Rampa D 0-0+500 / Rampa C 0-0+500 / Rampa A 0-0+500 / ferrovia	45,72	23,05	
OTCLPT2503	16L	Rampa D 0-0+500 / Rampa C 0-0+500 / Rampa A 0-0+500 / ferrovia	47,83	22,49	
OTCLPT2503	17L	Rampa D 0-0+500 / Rampa C 0-0+500 / Rampa A 0-0+500 / ferrovia	51,10	21,76	
OTCLPT2503	18L	Rampa D 0-0+500 / Rampa C 0-0+500 / Rampa A 0-0+500 / ferrovia	53,44	22,79	
OTCLPT2503	19L	Rampa D 0-0+500 / Rampa C 0-0+500 / Rampa A 0-0+500 / ferrovia	55,53	20,7	
OTCLPT2503	20L	Rampa D 0-0+500 / Rampa C 0-0+500 / Rampa A 0-0+500 / ferrovia	58,05	22,37	
FCCH2509	5L	Rampa D 0-0+500 / Rampa C 0-0+500 / Rampa A 0-0+500 / ferrovia	34,40	21,80	
FCCH2509	6L	Rampa D 0-0+500 / Rampa C 0-0+500 / Rampa A 0-0+500 / ferrovia	35,60	19,00	
FCCH2509	8L	Rampa D 0-0+500 / Rampa C 0-0+500 / Rampa A 0-0+500 / ferrovia	40,50	20,90	
FCCH2509	11L	Rampa D 0-0+500 / Rampa C 0-0+500 / Rampa A 0-0+500 / ferrovia	50,30	20,18	
FCCH2509	13L	Rampa D 0-0+500 / Rampa C 0-0+500 / Rampa A 0-0+500 / ferrovia	58,00	21,24	
FCCH2509	15L	Rampa D 0-0+500 / Rampa C 0-0+500 / Rampa A 0-0+500 / ferrovia	64,70	22,11	
FCCH2509	16L	Rampa D 0-0+500 / Rampa C 0-0+500 / Rampa A 0-0+500 / ferrovia	71,10	20,53	
FCCH2509	17L	Rampa D 0-0+500 / Rampa C 0-0+500 / Rampa A 0-0+500 / ferrovia	73,40	21,88	
FCCH2509	18L	Rampa D 0-0+500 / Rampa C 0-0+500 / Rampa A 0-0+500 / ferrovia	74,50	20,83	
FCCH2509	19L	Rampa D 0-0+500 / Rampa C 0-0+500 / Rampa A 0-0+500 / ferrovia	75,80	21,95	
FCCH2509	21L	Rampa D 0-0+500 / Rampa C 0-0+500 / Rampa A 0-0+500 / ferrovia	84,00	21,18	
FCCH2509	23L	Rampa D 0-0+500 / Rampa C 0-0+500 / Rampa A 0-0+500 / ferrovia	92,80	20,73	

**Prove di schiacciamento - LPT-
CONGLOMERATO DI PEZZO**



▲ CS103_4	■ CS103_5	◆ CS103_6-1	✖ CS103_6-2
▲ CS102_1-1	■ CS102_1-2	◆ CS102_2	▲ FCBH1512_10
■ FCBH1512_16	◆ FCBH1512_4NK3	✖ FCBH1512_28	+ FCBH1512_30
▲ OTCLPT1505_C4	▲ FCCH2509_C9	■ FCCH2509_C11	▲ OTCSPT504_C16
■ OTCSPT504_C17	◆ OTCSPT504_C18	✖ OTCSPT504_C24	▲ FCBH1501_1
■ FCBH1501_2	◆ FCBH1501_3	✖ FCBH1501_7	+ FCBH1501_9
- FCBH1501_11	▲ OTCLPT2503_1L	□ OTCLPT2503_2L	◇ OTCLPT2503_4L
✖ OTCLPT2503_6L	+ OTCLPT2503_8L	- OTCLPT2503_9L	○ OTCLPT2503_12L
✖ OTCLPT2503_13L	- OTCLPT2503_15L	▲ OTCLPT2503_16L	□ OTCLPT2503_17L
◇ OTCLPT2503_18L			

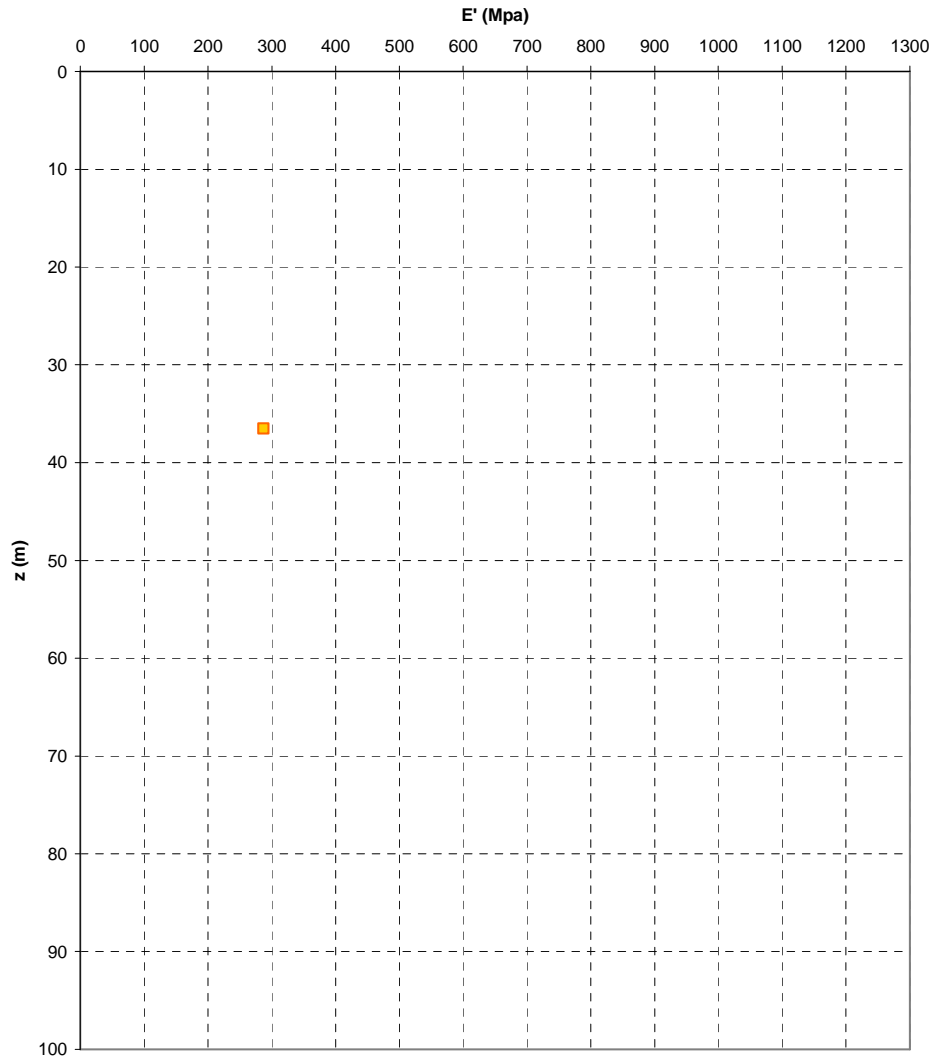
RELAZIONE DI CALCOLO

Codice documento
CS0330_F0

Rev
F0

Data
20/06/2011

**Prove dilatometriche
CONGLOMERATO DI PEZZO**



■ Cn450_2DRT

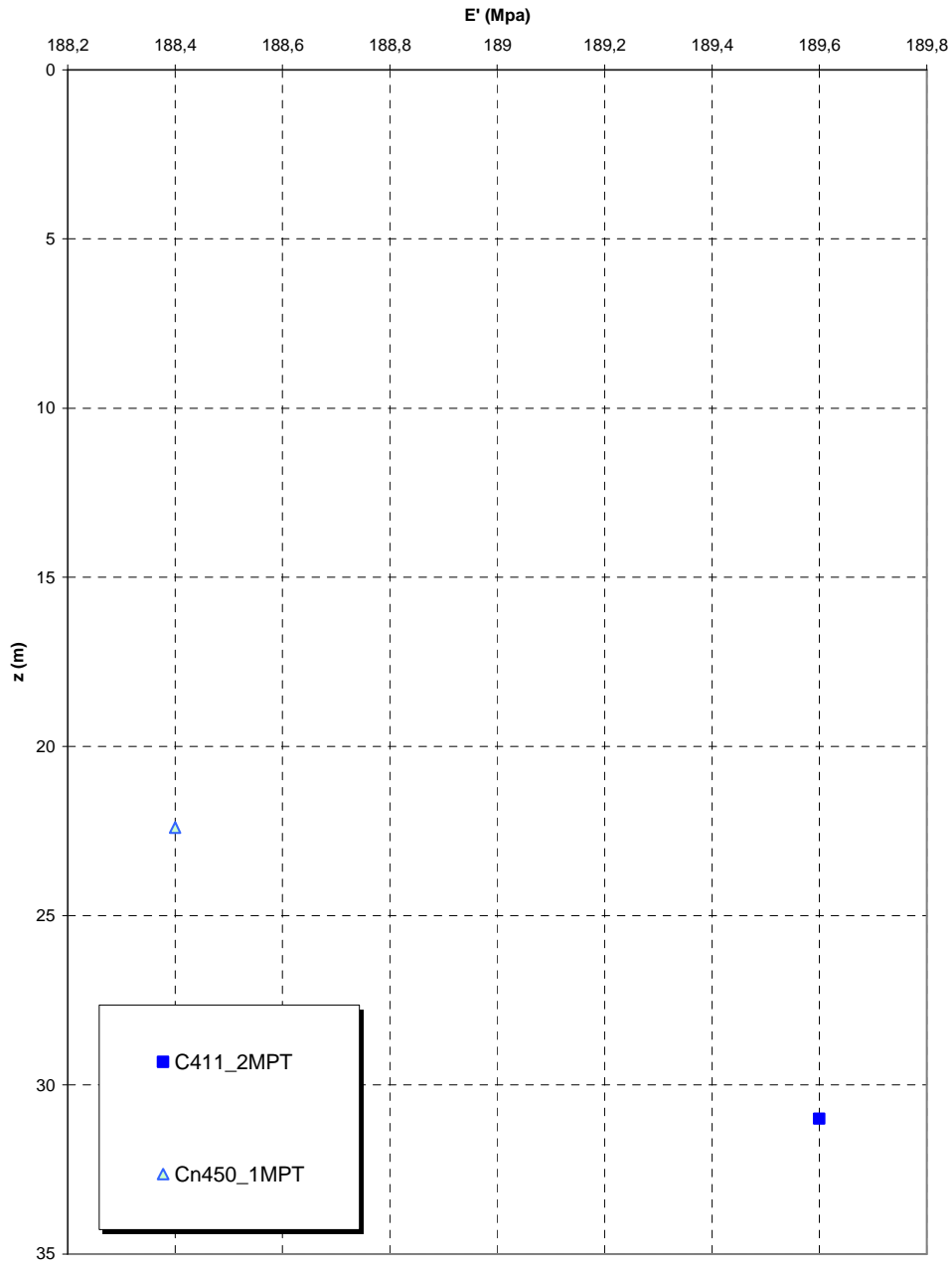
RELAZIONE DI CALCOLO

Codice documento
CS0330_F0

Rev
F0

Data
20/06/2011

**Prove pressiometriche
CONGLOMERATO DI PEZZO**



		Ponte sullo Stretto di Messina PROGETTO DEFINITIVO		
RELAZIONE DI CALCOLO		<i>Codice documento</i> CS0330_F0	<i>Rev</i> F0	<i>Data</i> 20/06/2011

4.3 CARATTERIZZAZIONE IDROGEOLOGICA E IDRAULICA DEL LUOGO

Il torrente Campanella presenta andamento prevalente est-ovest, anche se a monte dell'autostrada esso scorre secondo la direzione nord-sud. Alla base del viadotto autostradale, il corso d'acqua non è al momento riconoscibile per via della presenza del cantiere per la realizzazione delle gallerie della nuova autostrada Salerno - Reggio Calabria. Al momento del sopralluogo, il torrente risulta completamente asciutto, almeno nel tratto di monte.

Poco a valle rispetto al viadotto autostradale, sono presenti 2 briglie in c.a., di 13-14 m di larghezza e il corso d'acqua risulta sistemato tra muri in c.a. almeno fino ai primi fabbricati presenti in sinistra. Successivamente l'alveo prosegue lungo la strada .

A valle, in corrispondenza del cimitero, e poco a monte dell'abitato di Villa S. Giovanni, è presente sul lato destro della strada, una vasca sghiaiatrice in c.a., sagomata a forma di imbuto per far sedimentare il materiale prima dell'ingresso nel tratto canalizzato. Il 50% della vasca si sviluppa al di sotto della strada. La vasca è alimentata a caduta da 3 tubi affiancati in c.a. di diametro interno 0,5 m, che raccolgono l'acqua attraverso una serie di griglie poste a monte lungo la strada. La porzione di vasca sotto la strada è divisa da 3 pilastri in c.a. ma risulta completamente accessibile all'acqua. Dall'indagine visiva la vasca appare in parte riempita di materiale e vegetazione. All'interno del canale si osserva una minima quantità d'acqua. La sezione di imbocco del tratto canalizzato presenta sezione rettangolare, in c.a., di larghezza 3,8 m e altezza 2 m.

A partire dalla vasca sghiaiatrice il tratto di canalizzazione tombato si sviluppa al di sotto della strada per una lunghezza di circa 814 m e una pendenza media del 5,3%.

Lo sbocco avviene al di sotto del ponte ferroviario, mediante una sezione rettangolare in c.a. di larghezza 4 m e altezza 1,73 m. Il corso d'acqua risulta sistemato fino al termine del ponte, dopo di che esso prosegue lungo una strada tra fabbricati che si affacciano sull'imbarcadere. Al termine del tratto sistemato è presente unicamente una griglia che alimenta a caduta una canalizzazione di dimensioni 1 m x 1 m e che scarica direttamente in mare. All'interno del canale si osserva una discreta quantità d'acqua.

Il bacino del T. Campanella drena un settore della fascia collinare compresa tra villa San Giovanni e il Piano di Matinili. Questa fascia collinare trae origine dal rimodellamento da parte del reticolo idrografico di due ordini di terrazzi marini corrispondenti quello più basso all'area di Piale e quello più alto al Piano di Matinili. In tale settore il substrato è costituito essenzialmente da depositi

		Ponte sullo Stretto di Messina PROGETTO DEFINITIVO		
RELAZIONE DI CALCOLO		<i>Codice documento</i> CS0330_F0	<i>Rev</i> F0	<i>Data</i> 20/06/2011

pleistocenici continentali ghiaioso-sabbiosi, poco o per nulla coerenti e quindi facilmente erodibili; localmente sono presenti nel settore a monte dell'autostrada degli affioramenti del substrato cristallino (graniti e granodioriti con potente cappello di alterazione).

I depositi alluvionali osservati all'interno dell'alveo ricadono nel campo delle sabbie ghiaiose, con locale presenza di ciottoli.

I valori di portata idrologica del corso d'acqua con tempo di ritorno Tr 2, 5, 10, 30, 100 e 200 anni e il valore di portata di verifica, maggiorata rispetto al valore calcolato con Tr 200 anni della portata solida movimentabile da un evento di pari tempo di ritorno, sono riportati nella seguente tabella.

	Q2	Q5	Q10	Q30	Q100	Q200	Q200 ver.
	m3/s	m3/s	m3/s	m3/s	m3/s	m3/s	m3/s
T. CAMPANELLA MONTE A3	6.7	10.3	12.6	16.2	20.0	22.2	23.04
AFFLUENTE CAMPANELLA_1 (VALLE A3)	0.5	0.8	1.0	1.3	1.6	1.8	1.8
AFFLUENTE CAMPANELLA_2 (VALLE A3)	0.7	1.1	1.4	1.8	2.3	2.5	2.5
T. CAMPANELLA VALLE A3	7.3	11.3	13.9	17.8	22.1	24.5	25.43

Tabella 4.1 - Portate idrologiche per tempo di ritorno assegnato inserite nel modello.

Le simulazioni eseguite sul torrente Campanella mostrano che il deflusso delle piene avviene in corrente veloce, data l'elevata pendenza media di fondo alveo (circa 7%).

Le piene sono contenute all'interno dell'alveo attivo delimitato dai limiti morfologici naturali presenti (orli di terrazzo).

4.4 CARATTERIZZAZIONE DELLA SISMICITA' DEL LUOGO

L'effetto dell'azione sismica di progetto sull'opera nel suo complesso, includendo il volume significativo di terreno, la struttura di fondazione, gli elementi strutturali e non, nonché gli impianti, deve rispettare gli stati limite ultimi e di esercizio definiti al § 3.2.1, i cui requisiti di sicurezza sono indicati nel § 7.1 della norma.

Il rispetto degli stati limite si considera conseguito quando:

- nei confronti degli stati limite di esercizio siano rispettate le verifiche relative al solo Stato Limite di Danno;

		Ponte sullo Stretto di Messina PROGETTO DEFINITIVO		
RELAZIONE DI CALCOLO		<i>Codice documento</i> CS0330_F0	<i>Rev</i> F0	<i>Data</i> 20/06/2011

- nei confronti degli stati limite ultimi siano rispettate le verifiche relative al solo Stato Limite di salvaguardia della Vita.

Per Stato Limite di Danno (SLD) s'intende che l'opera, nel suo complesso, a seguito del terremoto, includendo gli elementi strutturali, quelli non strutturali, le apparecchiature rilevanti alla sua funzione, subisce danni tali da non provocare rischi agli utenti e non compromette significativamente la capacità di resistenza e di rigidezza nei confronti delle azioni verticali e orizzontali. Lo stato limite di esercizio comporta la verifica delle tensioni di lavoro, in conformità al § 4.1.2.2.5 [NT_1].

Per Stato Limite di salvaguardia della Vita (SLV) si intende che l'opera a seguito del terremoto subisce rotture e crolli dei componenti non strutturali e impiantistici e significativi danni di componenti strutturali, cui si associa una perdita significativa di rigidezza nei confronti delle azioni orizzontali (creazione di cerniere plastiche secondo il criterio della gerarchia delle resistenze), mantenendo ancora un margine di sicurezza (resistenza e rigidezza) nei confronti delle azioni verticali.

Gli stati limite, sia di esercizio sia ultimi, sono individuati riferendosi alle prestazioni che l'opera a realizzarsi deve assolvere durante un evento sismico; per la funzione che l'opera deve espletare nella sua vita utile, è significativo calcolare lo Stato Limite di Danno (SLD) per l'esercizio e lo Stato Limite di Salvaguardia della Vita (SLV) per lo stato limite ultimo.

Per la definizione dell'azione sismica, occorre definire il periodo di riferimento P_{VR} in funzione dello stato limite considerato.

La vita nominale (V_N) dell'opera è stata assunta pari a $V_N = 100$ anni.

La classe d'uso assunta è la IV, da cui $C_u = 2$.

Il periodo di riferimento (V_R) per l'azione sismica, data la vita nominale e la classe d'uso vale:

$$V_R = V_N \cdot C_u = 200 \text{ anni}$$

I valori di probabilità di superamento del periodo di riferimento P_{VR} , cui riferirsi per individuare l'azione sismica agente è:

$$P_{VR}(\text{SLD}) = 63\%$$

$$P_{VR}(\text{SLV}) = 10\%$$

Il periodo di ritorno dell'azione sismica T_R espresso in anni, vale:

$$T_R(\text{SLD}) = \frac{V_r}{\ln(1 - P_{vr})} = 201 \text{ anni}$$

$$T_R(\text{SLV}) = \frac{V_r}{\ln(1 - P_{vr})} = 1898 \text{ anni}$$

Dato il valore del periodo di ritorno suddetto, tramite le tabelle riportate nell'Allegato B della norma

		Ponte sullo Stretto di Messina PROGETTO DEFINITIVO		
RELAZIONE DI CALCOLO		<i>Codice documento</i> CS0330_F0	<i>Rev</i> F0	<i>Data</i> 20/06/2011

o tramite la mappatura messa a disposizione in rete dall'Istituto Nazionale di Geofisica e Vulcanologia (INGV), è possibile definire i valori di a_g , F_0 , T^*_c .

a_g → accelerazione orizzontale massima del terreno su suolo di categoria A, espressa come frazione dell'accelerazione di gravità;

F_0 → valore massimo del fattore di amplificazione dello spettro in accelerazione orizzontale;

T^*_c → periodo d'inizio del tratto a velocità costante dello spettro in accelerazione orizzontale;

S → coefficiente che comprende l'effetto dell'amplificazione stratigrafica (S_s) e dell'amplificazione topografica (S_t);

I valori delle caratteristiche sismiche (a_g , F_0 , T^*_c) per lo Stato Limite di salvaguardia della Vita sono:

Per SLD → ($a_g=0,171g$; $F_0=2,358$; $T^*_c=0,337s$)

Per SLV → ($a_g=0,440g$; $F_0=2,489$; $T^*_c=0,422s$)

Il sottosuolo su cui insiste l'opera può essere inserito nella categoria "B".

Il valore del coefficiente di amplificazione stratigrafico risulta:

$S_s(\text{SLD}) = 1,4 - 0,4 \cdot F_0 \cdot a_g/g = 1,238$ essendo il valore $> 1,2$ si assume $S_s(\text{SLD}) = 1,2$

$S_s(\text{SLV}) = 1,4 - 0,4 \cdot F_0 \cdot a_g/g = 0,962$ essendo il valore < 1 si assume $S_s(\text{SLV}) = 1,0$

Le caratteristiche della superficie topografica possono essere assunte come categoria T1, adottando di conseguenza un valore di amplificazione topografica $S_t = 1,0$.

L'accelerazione massima è valutata con la relazione:

$a_{\max}(\text{SLD}) = S \cdot a_g = S_s \cdot S_t \cdot a_g = 1,2 \cdot 1,0 \cdot 0,171g = 0,206g$

$a_{\max}(\text{SLV}) = S \cdot a_g = S_s \cdot S_t \cdot a_g = 1,0 \cdot 1,0 \cdot 0,440g = 0,440g$

Per completezza si riportano gli spettri elastici di progetto (in forma tabellare) sia per gli SLD che per gli SLV in direzione orizzontale e verticale:

		Ponte sullo Stretto di Messina PROGETTO DEFINITIVO		
		RELAZIONE DI CALCOLO	<i>Codice documento</i> CS0330_F0	<i>Rev</i> F0

Parametri e punti dello spettro di risposta orizzontale per lo stato limite: SLD

Parametri indipendenti

STATO LIMITE	SLD
a_g	0,171 g
F_0	2,358
T_C	0,337 s
S_S	1,200
C_C	1,367
S_T	1,000
q	1,000

Parametri dipendenti

S	1,200
η	1,000
T_B	0,154 s
T_C	0,461 s
T_D	2,286 s

Espressioni dei parametri dipendenti

$$S = S_S \cdot S_T \quad (\text{NTC-08 Eq. 3.2.5})$$

$$\eta = \sqrt{10/(5+\xi)} \geq 0,55; \quad \eta = 1/q \quad (\text{NTC-08 Eq. 3.2.6; §. 3.2.3.5})$$

$$T_B = T_C / 3 \quad (\text{NTC-07 Eq. 3.2.8})$$

$$T_C = C_C \cdot T_C^* \quad (\text{NTC-07 Eq. 3.2.7})$$

$$T_D = 4,0 \cdot a_g / g + 1,6 \quad (\text{NTC-07 Eq. 3.2.9})$$

Espressioni dello spettro di risposta (NTC-08 Eq. 3.2.4)

$$0 \leq T < T_B \quad S_e(T) = a_g \cdot S \cdot \eta \cdot F_0 \cdot \left[\frac{T}{T_B} + \frac{1}{\eta \cdot F_0} \left(1 - \frac{T}{T_B} \right) \right]$$

$$T_B \leq T < T_C \quad S_e(T) = a_g \cdot S \cdot \eta \cdot F_0$$

$$T_C \leq T < T_D \quad S_e(T) = a_g \cdot S \cdot \eta \cdot F_0 \cdot \left(\frac{T_C}{T} \right)$$

$$T_D \leq T \quad S_e(T) = a_g \cdot S \cdot \eta \cdot F_0 \cdot \left(\frac{T_C \cdot T_D}{T^2} \right)$$

Lo spettro di progetto $S_d(T)$ per le verifiche agli Stati Limite Ultimi è ottenuto dalle espressioni dello spettro elastico $S_e(T)$ sostituendo η con $1/q$, dove q è il fattore di struttura. (NTC-08 § 3.2.3.5)

Punti dello spettro di risposta

T [s]	Se [g]
0,000	0,206
0,154	0,485
0,461	0,485
0,548	0,408
0,635	0,352
0,722	0,310
0,809	0,276
0,895	0,250
0,982	0,228
1,069	0,209
1,156	0,193
1,243	0,180
1,330	0,168
1,417	0,158
1,504	0,149
1,590	0,141
1,677	0,133
1,764	0,127
1,851	0,121
1,938	0,115
2,025	0,110
2,112	0,106
2,199	0,102
2,286	0,098
2,367	0,091
2,449	0,085
2,530	0,080
2,612	0,075
2,694	0,070
2,775	0,066
2,857	0,063
2,939	0,059
3,020	0,056
3,102	0,053
3,184	0,050
3,265	0,048
3,347	0,046
3,429	0,043
3,510	0,041
3,592	0,040
3,673	0,038
3,755	0,036
3,837	0,035
3,918	0,033
4,000	0,032

		Ponte sullo Stretto di Messina PROGETTO DEFINITIVO		
		RELAZIONE DI CALCOLO	<i>Codice documento</i> CS0330_F0	<i>Rev</i> F0

Parametri e punti dello spettro di risposta verticale per lo stato limite: SLD

Parametri indipendenti

STATO LIMITE	SLD
a_{gv}	0,096 g
S_S	1,000
S_T	1,000
q	1,000
T_B	0,050 s
T_C	0,150 s
T_D	1,000 s

Parametri dipendenti

F_v	1,318
S	1,000
η	1,000

Punti dello spettro di risposta

	T [s]	Se [g]
	0,000	0,096
$T_B \leftarrow$	0,050	0,226
$T_C \leftarrow$	0,150	0,226
	0,235	0,144
	0,320	0,106
	0,405	0,084
	0,490	0,069
	0,575	0,059
	0,660	0,051
	0,745	0,045
	0,830	0,041
	0,915	0,037
$T_D \leftarrow$	1,000	0,034
	1,094	0,028
	1,188	0,024
	1,281	0,021
	1,375	0,018
	1,469	0,016
	1,563	0,014
	1,656	0,012
	1,750	0,011
	1,844	0,010
	1,938	0,009
	2,031	0,008
	2,125	0,008
	2,219	0,007
	2,313	0,006
	2,406	0,006
	2,500	0,005
	2,594	0,005
	2,688	0,005
	2,781	0,004
	2,875	0,004
	2,969	0,004
	3,063	0,004
	3,156	0,003
	3,250	0,003
	3,344	0,003
	3,438	0,003
	3,531	0,003
	3,625	0,003
	3,719	0,002
	3,813	0,002
	3,906	0,002
	4,000	0,002

Espressioni dei parametri dipendenti

$$S = S_S \cdot S_T \quad (\text{NTC-08 Eq. 3.2.5})$$

$$\eta = 1/q \quad (\text{NTC-08 §. 3.2.3.5})$$

$$F_v = 1,35 \cdot F_0 \cdot \left(\frac{a_g}{g}\right)^{0,5} \quad (\text{NTC-08 Eq. 3.2.11})$$

Espressioni dello spettro di risposta (NTC-08 Eq. 3.2.10)

$$0 \leq T < T_B \quad S_e(T) = a_g \cdot S \cdot \eta \cdot F_v \cdot \left[\frac{T}{T_B} + \frac{1}{\eta \cdot F_0} \left(1 - \frac{T}{T_B} \right) \right]$$

$$T_B \leq T < T_C \quad S_e(T) = a_g \cdot S \cdot \eta \cdot F_v$$

$$T_C \leq T < T_D \quad S_e(T) = a_g \cdot S \cdot \eta \cdot F_v \cdot \left(\frac{T_C}{T} \right)$$

$$T_D \leq T \quad S_e(T) = a_g \cdot S \cdot \eta \cdot F_v \cdot \left(\frac{T_C T_D}{T^2} \right)$$

		Ponte sullo Stretto di Messina PROGETTO DEFINITIVO		
		RELAZIONE DI CALCOLO	<i>Codice documento</i> CS0330_F0	<i>Rev</i> F0

Parametri e punti dello spettro di risposta orizzontale per lo stato limite: SLV

Parametri indipendenti

STATO LIMITE	SLV
a_g	0,440 g
F_0	2,489
T_C	0,422 s
S_S	1,000
C_C	1,307
S_T	1,000
q	1,000

Parametri dipendenti

S	1,000
η	1,000
T_B	0,184 s
T_C	0,551 s
T_D	3,358 s

Espressioni dei parametri dipendenti

$$S = S_S \cdot S_T \quad (\text{NTC-08 Eq. 3.2.5})$$

$$\eta = \sqrt{10/(5 + \xi)} \geq 0,55; \quad \eta = 1/q \quad (\text{NTC-08 Eq. 3.2.6; §. 3.2.3.5})$$

$$T_B = T_C / 3 \quad (\text{NTC-07 Eq. 3.2.8})$$

$$T_C = C_C \cdot T_C^* \quad (\text{NTC-07 Eq. 3.2.7})$$

$$T_D = 4,0 \cdot a_g / g + 1,6 \quad (\text{NTC-07 Eq. 3.2.9})$$

Espressioni dello spettro di risposta (NTC-08 Eq. 3.2.4)

$$0 \leq T < T_B \quad S_e(T) = a_g \cdot S \cdot \eta \cdot F_0 \cdot \left[\frac{T}{T_B} + \frac{1}{\eta \cdot F_0} \left(1 - \frac{T}{T_B} \right) \right]$$

$$T_B \leq T < T_C \quad S_e(T) = a_g \cdot S \cdot \eta \cdot F_0$$

$$T_C \leq T < T_D \quad S_e(T) = a_g \cdot S \cdot \eta \cdot F_0 \cdot \left(\frac{T_C}{T} \right)$$

$$T_D \leq T \quad S_e(T) = a_g \cdot S \cdot \eta \cdot F_0 \cdot \left(\frac{T_C T_D}{T^2} \right)$$

Lo spettro di progetto $S_d(T)$ per le verifiche agli Stati Limite Ultimi è ottenuto dalle espressioni dello spettro elastico $S_e(T)$ sostituendo η con $1/q$, dove q è il fattore di struttura. (NTC-08 § 3.2.3.5)

Punti dello spettro di risposta

	T [s]	Se [g]
	0,000	0,440
$T_B \leftarrow$	0,184	1,094
$T_C \leftarrow$	0,551	1,094
	0,685	0,881
	0,819	0,737
	0,952	0,633
	1,086	0,555
	1,220	0,495
	1,353	0,446
	1,487	0,406
	1,621	0,372
	1,754	0,344
	1,888	0,320
	2,022	0,298
	2,155	0,280
	2,289	0,264
	2,423	0,249
	2,556	0,236
	2,690	0,224
	2,824	0,214
	2,957	0,204
	3,091	0,195
	3,225	0,187
$T_D \leftarrow$	3,358	0,180
	3,389	0,176
	3,419	0,173
	3,450	0,170
	3,481	0,167
	3,511	0,164
	3,542	0,162
	3,572	0,159
	3,603	0,156
	3,633	0,153
	3,664	0,151
	3,694	0,148
	3,725	0,146
	3,756	0,144
	3,786	0,141
	3,817	0,139
	3,847	0,137
	3,878	0,135
	3,908	0,133
	3,939	0,131
	3,969	0,129
	4,000	0,127

		Ponte sullo Stretto di Messina PROGETTO DEFINITIVO		
		RELAZIONE DI CALCOLO	<i>Codice documento</i> CS0330_F0	<i>Rev</i> F0

Parametri e punti dello spettro di risposta verticale per lo stato limite: SLV

Parametri indipendenti

STATO LIMITE	SLV
a_{gv}	0,393 g
S_S	1,000
S_T	1,000
q	1,000
T_B	0,050 s
T_C	0,150 s
T_D	1,000 s

Parametri dipendenti

F_v	2,227
S	1,000
η	1,000

Espressioni dei parametri dipendenti

$$S = S_S \cdot S_T \quad (\text{NTC-08 Eq. 3.2.5})$$

$$\eta = 1/q \quad (\text{NTC-08 §. 3.2.3.5})$$

$$F_v = 1,35 \cdot F_0 \cdot \left(\frac{a_g}{g}\right)^{0,5} \quad (\text{NTC-08 Eq. 3.2.11})$$

Espressioni dello spettro di risposta (NTC-08 Eq. 3.2.10)

$$0 \leq T < T_B \quad S_e(T) = a_g \cdot S \cdot \eta \cdot F_v \cdot \left[\frac{T}{T_B} + \frac{1}{\eta \cdot F_0} \left(1 - \frac{T}{T_B} \right) \right]$$

$$T_B \leq T < T_C \quad S_e(T) = a_g \cdot S \cdot \eta \cdot F_v$$

$$T_C \leq T < T_D \quad S_e(T) = a_g \cdot S \cdot \eta \cdot F_v \cdot \left(\frac{T_C}{T} \right)$$

$$T_D \leq T \quad S_e(T) = a_g \cdot S \cdot \eta \cdot F_v \cdot \left(\frac{T_C T_D}{T^2} \right)$$

Punti dello spettro di risposta

	T [s]	Se [g]
	0,000	0,393
T_B ←	0,050	0,979
T_C ←	0,150	0,979
	0,235	0,625
	0,320	0,459
	0,405	0,363
	0,490	0,300
	0,575	0,255
	0,660	0,223
	0,745	0,197
	0,830	0,177
	0,915	0,161
T_D ←	1,000	0,147
	1,094	0,123
	1,188	0,104
	1,281	0,089
	1,375	0,078
	1,469	0,068
	1,563	0,060
	1,656	0,054
	1,750	0,048
	1,844	0,043
	1,938	0,039
	2,031	0,036
	2,125	0,033
	2,219	0,030
	2,313	0,027
	2,406	0,025
	2,500	0,023
	2,594	0,022
	2,688	0,020
	2,781	0,019
	2,875	0,018
	2,969	0,017
	3,063	0,016
	3,156	0,015
	3,250	0,014
	3,344	0,013
	3,438	0,012
	3,531	0,012
	3,625	0,011
	3,719	0,011
	3,813	0,010
	3,906	0,010
	4,000	0,009

L'applicazione delle azioni sismiche alle sottostrutture viene affrontato mediante il metodo

		Ponte sullo Stretto di Messina PROGETTO DEFINITIVO		
RELAZIONE DI CALCOLO		<i>Codice documento</i> CS0330_F0	<i>Rev</i> F0	<i>Data</i> 20/06/2011

pseudostatico ([NT_1] § 7.11.6). In queste condizioni l'azione sismica è rappresentata da una forza statica equivalente pari al prodotto delle forze di gravità per un opportuno coefficiente sismico. L'analisi sismica è stata fatta considerando il valore di ancoraggio dello spettro.

L'azione sismica è rappresentata da un insieme di forze statiche orizzontali e verticali, date dal prodotto delle forze di gravità per i coefficienti sismici in precedenza definiti.

In merito alle opere scatolari di cui trattasi, nel rispetto del punto § 7.9.2., assimilando l'opera scatolare alla categoria delle spalle da ponte, rientrando tra le opere che si muovono con il terreno (§ 7.9.2.1), si può ritenere che la struttura debba mantenere sotto l'azione sismica un comportamento elastico; queste categorie di opere che si muovono con il terreno non subiscono le amplificazioni dell'accelerazione del suolo.

Nelle verifiche allo Stato Limite Ultimo, i valori dei coefficienti sismici orizzontali k_h e verticale k_v possono essere valutati mediante le espressioni:

$$k_h = \beta_m \cdot \frac{a_{\max}}{g} \qquad k_v = \pm 0.5 \cdot k_h$$

dove

a_{\max} = accelerazione orizzontale massima attesa al sito;

g = accelerazione di gravità;

β = parametro riduttivo dell'azione sismica in accordo con il §7.11.6.2.1

Essendo lo scatolare una struttura che non ammette spostamenti relativi rispetto al terreno, il coefficiente β_m , assume il valore 1.

Le spinte delle terre, considerando lo scatolare una struttura rigida e priva di spostamenti (NT § 7.11.6.2.1 e EC8-5 § 7.3.2.1), sono calcolate in regime di spinta a riposo che comporta il calcolo delle spinte sismiche in tali condizioni; l'incremento dinamico di spinta del terreno può essere calcolato come:

$$\Delta P_d = S \cdot a_g / g \cdot \gamma \cdot h_{\text{tot}}^2$$

Il punto di applicazione della spinta che interessa lo scatolare è posto $h_{\text{scat}}/2$, con " h_{tot} " altezza dal piano stradale alla fondazione dello scatolare e h_{scat} l'altezza dello scatolare (fuori terra).

Essendo " ΔP_d " la risultante globale, ed il diagramma di spinta di tipo rettangolare, è immediato ricavare la quota parte della spinta che agisce sul piedritto dello scatolare.

L'azione sismica è rappresentata da un insieme di forze statiche orizzontali e verticali, date dal prodotto delle forze di gravità per i coefficienti sismici in precedenza definiti, di cui la componente verticale è considerata agente verso l'alto o verso il basso, in modo da produrre gli effetti più sfavorevoli.

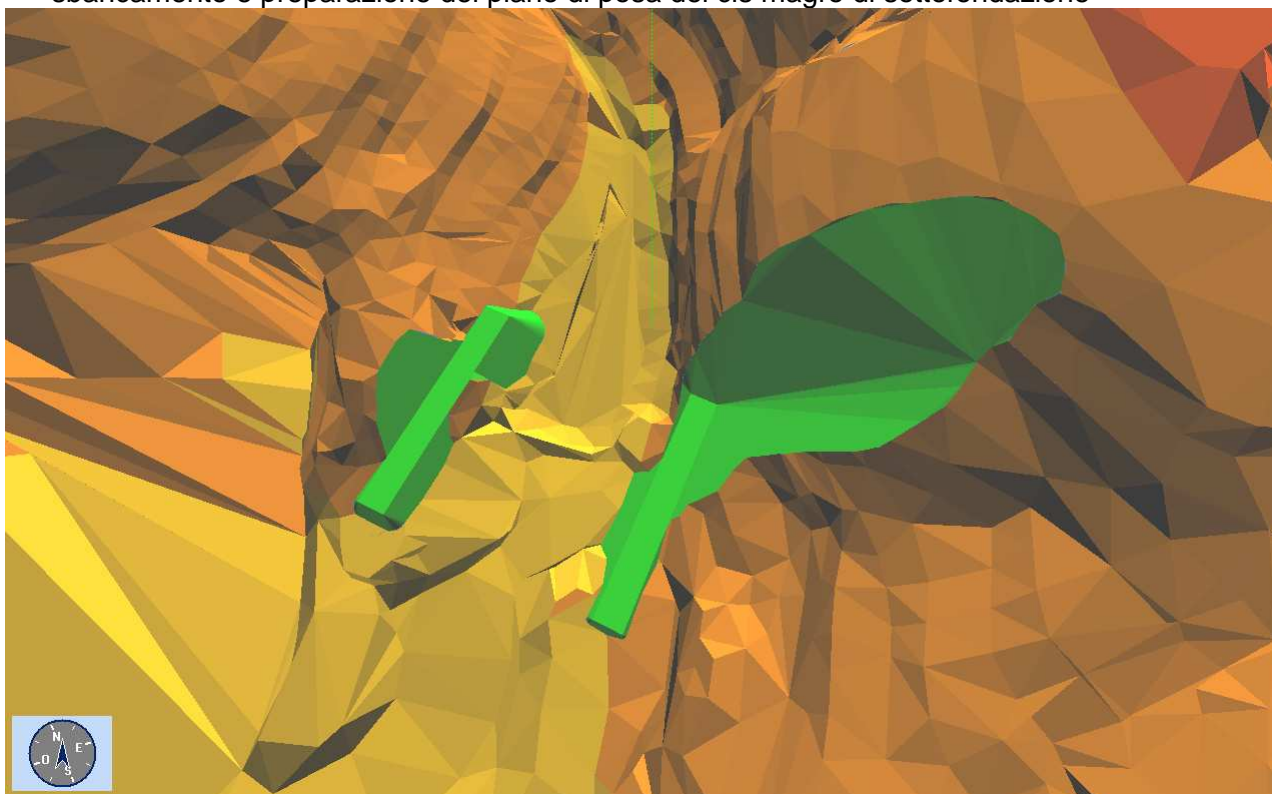
		Ponte sullo Stretto di Messina PROGETTO DEFINITIVO		
RELAZIONE DI CALCOLO		<i>Codice documento</i> CS0330_F0	<i>Rev</i> F0	<i>Data</i> 20/06/2011

5 FASI COSTRUTTIVE

La realizzazione dell'opera prevede le seguenti fasi principali di costruzione:

ESECUZIONI DI PRIMA FASE:

- sbancamento e preparazione del piano di posa del cls magro di sottofondazione



- perforazione dei pali, calaggio delle armature e getto di calcestruzzo;

ESECUZIONI DI SECONDA FASE

- casseratura delle elevazioni e getto delle parti in c.a. della spalla;
- rimodellazione del terreno antistante la spalla allo scopo di ottenere un piano di lavoro a quota costante per lo stoccaggio delle travi.

ESECUZIONI DI TERZA FASE

- posizionamento della gru;
- varo dell'impalcato;
- sistemazione dei rilevati come da elaborato: CG0700PP8DCSC00VI7B000001F0